



نوع کانی سازی و بررسی میانبارهای سیال ذخیره مس بلبلی ۲ در شمال شرق سیرجان، جنوب شرق ایران

محمد صالحی تینونی^۱، علی عابدینی^{۱*}، علی اصغر کلاگری^۲

۱- گروه زمین شناسی، دانشکده علوم، دانشگاه ارومیه، ارومیه، ایران

۲- گروه علوم زمین، دانشکده علوم طبیعی، دانشگاه تبریز، تبریز، ایران

(دریافت مقاله: ۹۸/۲/۲۱، نسخه نهایی: ۹۸/۶/۲۳)

چکیده: ذخیره مس بلبلی ۲ در ۱۱۰ کیلومتری جنوب غرب کرمان و در کمربند فلزایی دهج- ساردوئیه (کمان ماگمایی سنوزوئیک کرمان) واقع است. این ذخیره توسط سنگ‌های آذرین خروجی ائوسن (توف، جوش آتشفشانی، آندزیت و داسیت) و توده آذرین درونی الیگو- میوسن (گرانودیوریت) میزبانی می‌شود. این سنگ‌ها میزبان پهنه‌های دگرسانی پروپیلیتی، فیلیکی، سیلیسی و کربناتی (برآمده از سیال‌های کانی‌ساز) هستند. در این سنگ‌ها، کانی‌سازی درونزاد غالب بوده و بیشتر به صورت رگه- رگچه‌های داربستی و انتشاری (کالکوپیریت، پیریت و مگنتیت) رخ داده است. این کانی‌سازی توسط انباشته‌های برونزاد چون هماتیت، گوتیت، ملاکیت، و آزوریت در بخش سطحی ذخیره پوشیده شده است. کانی‌های درونزاد اغلب بافت‌های رگه-رگچه‌های داربستی، برشی، دانه‌ای و قشرگون را نشان می‌دهند. ریزدماسنجی در بلورهای کوارتز همزاد با کانی‌سازی چهار نوع میانبار سیال دو فاز می-گاز-گنی از مایع (L-V)، دوفازی گاز-مایع غنی از گاز (L-V-S)، سه فاز می-گاز-جامد (V-L) و تک فاز می-گازی (V) را نشان می‌دهد. میانبارهای سیال مورد مورد بررسی دارای گستره دمای همگن شدگی ۱۹۰-۴۲۷ درجه سانتی‌گراد هستند. میانبارهای سیال L-V-S با محو بلور نمک طعام در گستره دمایی ۲۱۳ تا ۴۲۵ درجه سانتی‌گراد متناظر با شوری‌های در گستره ۵۰-۳۲ درصد وزنی نمک طعام همگن می‌شوند. میانبارهای دوفازی غنی از مایع (L-V) شوری‌هایی در گستره ۱۰-۰/۶ درصد وزنی معادل نمک طعام را نشان می‌دهند. بر پایه داده‌های ریزدماسنجی، جوشش، آمیختگی و سرد شدن ساده سیال‌های کانی‌ساز سازوکارهای مؤثر در تشکیل و گسترش این ذخیره به شمار می‌روند. سیال‌های کانساز به احتمال بسیار دارای خاستگاه ماگمایی و ماگمایی- جوی بوده‌اند. جایگاه زمین‌ساختی، ویژگی- های بافتی و ساختی، انباشته‌های کانیایی دگرسانی و کانی‌زایی و داده‌های ریزدماسنجی رده‌بندی کانسنگ‌های بلبلی ۲ به عنوان ذخیره مس نوع پورفیری را تأیید می‌کنند.

واژه‌های کلیدی: دهج- ساردوئیه؛ کانی‌سازی؛ بافت؛ دگرسانی؛ میانبارهای سیال؛ مس پورفیری.

مقدمه

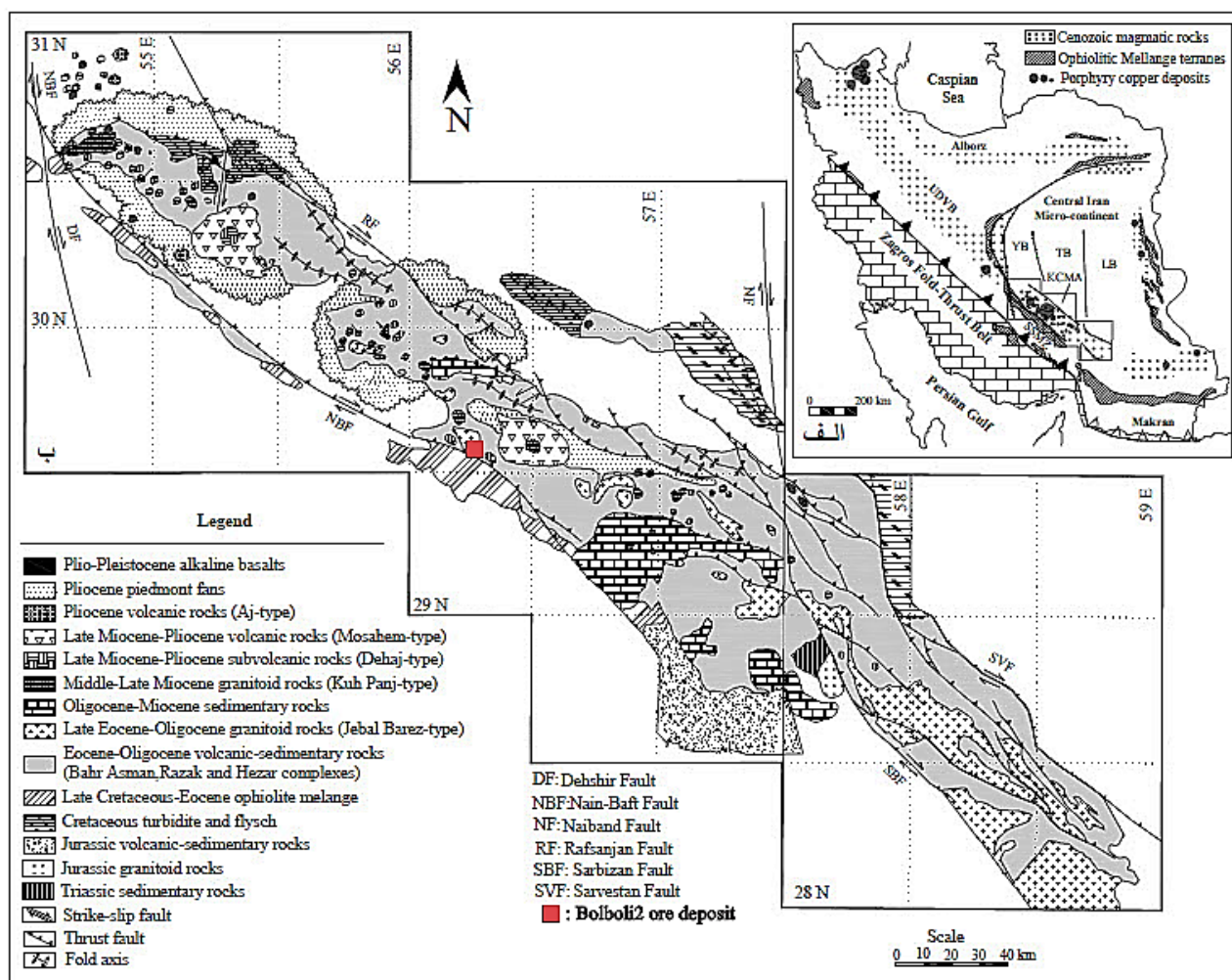
و ریوداسیت) ائوسن تا الیگوسن با میان لایه‌های رسوبی به همراه سنگ‌های آذرین درونی (گرانودیوریت، گرانیت، دیوریت، کوارتزیدیوریت و کوارتزومونونیت) ائوسن میانی تا الیگوسن- میوسن مهمترین واحدهای سنگی حاضر در این کمربند هستند [۲، ۳]. دگرسانی‌های سرسیستی، آرژیلیک، اپیدوتی، پتاسیکی و پروپیلیتی همراه با اسکارنی شدن در سنگ‌های

کمربند فلزایی دهج- ساردوئیه (کمان ماگمایی سنوزوئیک کرمان) با دارا بودن بیش از ۲۰۰ اثر کانی‌سازی مس (به صورت پورفیری و رگه‌ای) غنی‌ترین بخش قوس آتشفشانی- نفوذی پهنه ارومیه- دختر به شمار می‌رود (شکل ۱) [۱]. سنگ‌های آتشفشانی (بازالت، تراکی‌بازالت، آندزیت، تراکی‌آندزیت، داسیت

[۷]. ذخیره بلبلی ۲ در فاصله ۷۰ کیلومتری شمال شرق سیرجان (جنوب غرب کرمان) واقع بوده و در سال‌های اخیر توسط شرکت معدنی چهارگنبد [۹] مورد اکتشافات اولیه قرار گرفته است. تاکنون، بررسی دقیق و جامعی از دیدگاه زمین-شناسی اقتصادی بر ذخیره بلبلی ۲ انجام نشده است. در این پژوهش، با استفاده از مشاهدات صحرایی، دگرسانی، کانه‌نگاری و بررسی میانبارهای سیال در کانی کوارتز همزاد با کانی‌سازی سولفیدی، اطلاعات جامعی از نوع و روند کانی‌سازی و ویژگی‌های فیزیکی-شیمیایی سیال‌های گرمایی مسوول کانه‌زایی به دست آمده است.

کربناتی، اغلب در ارتباط با سنگ‌های آذرین دیده می‌شوند [۴]. وجود پهنه‌های اکسیدی هماتیتی، گوتیتی و جاروسیتی از ویژگی‌های بی مانند این کمربند فلززایی به شمار می‌رود [۵، ۶]. ذخایر پورفیری سرچشمه رفسنجان، میدوک شهر بابک [۱]، دره‌زار رفسنجان، دره‌آلو بردسیر- رابر [۷] و تخت‌گنبد سیرجان [۸] از جمله ذخایر مس و مس-مولیبدن شناسایی شده در این کمربند هستند.

منطقه بلبلی در کمربند دهج-ساردوئیه قرار دارد. رخداد کانی‌سازی مس در این منطقه در دو موقعیت مجزا (با فاصله تقریبی ۲ کیلومتر) رخ داده که ندیمویج [۷] آنها را ذخیره‌های بلبلی ۱ و بلبلی ۲ نامیده است. ذخیره بلبلی ۱ نوع رگه‌ای دارد

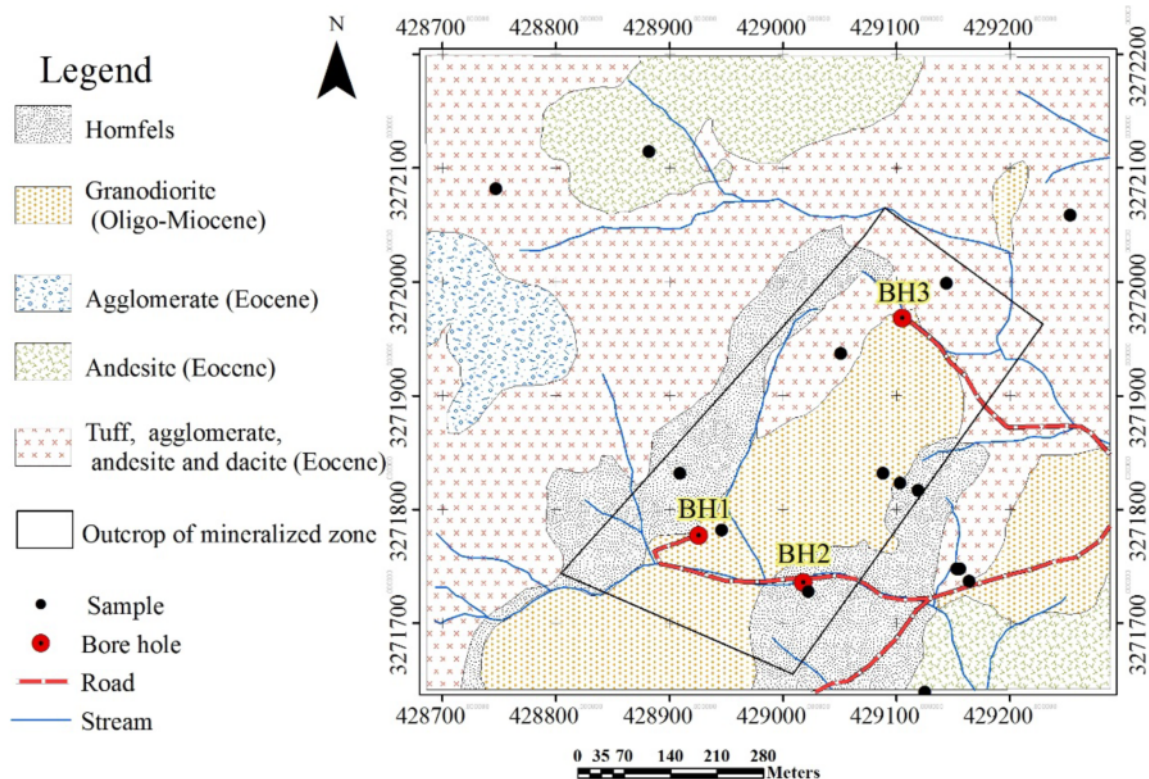


شکل ۱ الف: نقشه پهنه‌های زمین‌ساختاری ایران و جایگاه کمربند دهج-ساردوئیه (کمان ماگمایی سنوزوئیک کرمان، KCMA) بر روی کمان آتشفشانی-نفوذی پهنه ارومیه-دختر (برگرفته از مرجع [۲]). ب: سنگ‌شناسی ساده شده کمربند دهج-ساردوئیه [۲] که جایگاه ذخیره بلبلی ۲ بر آن نشان داده شده است.

زمین‌شناسی

کمریند دهج- ساردوئیه به طور عمده از سه مجموعه سنگ آتشفشانی بحر آسمان (ائوسن پیشین- میانی)، رازک (ائوسن میانی- پایانی) و هزار (الیگوسن) تشکیل شده است. سنگ‌های آتشفشانی مجموعه بحر آسمان (سنگ‌های آذرآواری و جریان گدازه‌ای با ترکیب اسیدی که توسط ردیف‌هایی از مواد آذرآواری آندزیتی - بازالتی تداوم یافته است) و رازک (سنگ- های آذرین آذرآواری و جریان‌های گدازه‌ای حدواسط و اسیدی) از نوع اشباع از سیلیس و با ترکیب مافیک تا فلسیک با گرایش حدواسط شبه تولئیتی-آهکی قلیایی هستند [۲]. مجموعه هزار (شامل ماسه سنگ توفی، جوش سنگ، توف، تراکی آندزیت، ایگنمیریت و لایه‌های نازک سنگ آهک و جوش آتشفشانی) برآمده از فعالیت ماگمایی زیراشباع از سیلیس و دارای فلدسپاتوئید فراوان با گرایش آهکی قلیایی است [۲، ۳]. واحدهای سنگی میزبان ذخیره بلبلی ۲ (منطقه معدنی چهارگنبد) در ارتباط با مجموعه زارک تشکیل شده‌اند [۴]. این مجموعه در ناحیه معدنی چهارگنبد شامل آندزیت، بازالت، آندزی- بازالت، تراکی آندزیت، ریوداسیت، توف و جوش

آتشفشانی با میان لایه‌های رسوبی است [۳، ۴ و ۱۰]. مجموعه سنگی یاد شده توسط سنگ‌های آذرین درونی الیگوسن- میوسن (دیوریت، کوارتزیدیوریت، مونزونیت، کوارتزمونزونیت، گرانودیوریت و گرانیت) مورد هجوم قرار گرفته که پیامد آن رخداد سیستم‌های گرمایی از نوع رگه‌ای فراگرمایی چون کانسار چهارگنبد و مس پورفیری مانند کانسار تخت‌گنبد است. ذخیره بلبلی ۲ از جمله ذخایر گرمایی برآمده از چنین فعالیت- های ماگمایی است. سنگ‌های درونگیر این کانی‌سازی شامل توف، جوش آتشفشانی، آندزیت و داسیت به سن ائوسن و گرانودیوریت پورفیری به سن الیگوسن- میوسن هستند (شکل ۲). گرانودیوریت پورفیری سنگ میزبان اصلی کانی‌سازی در ذخیره بلبلی ۲ است. بر اساس بررسی‌های انجام شده [۱۱، ۱۲]، توده‌های آذرین گرانودیوریتی ناحیه معدنی چهارگنبد از نوع حدواسط بوده و سرشت آهکی قلیایی نوع I دارند. سنگ‌های آذرین درونی میزبان ذخیره بلبلی ۲ نیز چنین هستند. سنگ‌های آذرین درونی با چنین طبیعتی در جایگاه قوس‌های آتشفشانی ناشی از فروانش پوسته اقیانوسی به زیر پوسته قاره‌ای تشکیل می‌شوند [۱۳-۱۵].



شکل ۲ نقشه زمین‌شناسی منطقه ذخیره معدنی بلبلی ۲ (برگرفته از مرجع [۱۰] با اندکی تغییرات).

روش بررسی

این پژوهش در دو بخش صحرایی و آزمایشگاهی انجام شد. بررسی‌های صحرایی شامل نمونه‌برداری از سنگ‌های آذرین درونی و آتشفشانی میزبان کانی‌سازی، رگه- رگچه‌های کانی- سازی شده و پهنه‌های دگرسانی به تعداد ۸۰ نمونه (سطحی و عمقی) است. از نمونه‌های برداشت شده، ۴۰ نمونه مناسب برای تهیه ۲۵ مقطع نازک و ۱۵ مقطع صیقلی انتخاب شدند. مقاطع تهیه شده با استفاده از میکروسکوپ نوری (عبوری- بازتابی) زایس مدل Axioplan2 در اداره کل زمین‌شناسی و اکتشافات معدنی جنوب شرق (مرکز کرمان) بررسی شدند. ۹ نمونه از سنگ‌های دگرسان شده برای مطالعه دقیق‌تر پهنه‌های دگرسانی با استفاده از پراش سنج پرتو X (XRD) به مرکز تحقیقات فرآوری مواد معدنی ایران (کرج) ارسال شدند (جدول ۱). ۱۰ نمونه دوبر صیقل از کانی کوارتز همزاد با رگه- رگچه- های کوارتزی- سولفیدی- اکسیدی برای بررسی‌های سنگ- نگاری و ریزدماسنجی تهیه شدند. بر اساس بررسی‌های سنگ- نگاری، سه تراشه مناسب برای تجزیه ریزدماسنجی انتخاب شده و اندازه‌گیری‌های پارامترهای دمایی میانبراهای سیال بوسیله دستگاه گرمایش و سرمایش Linkam زامیس و میکروسکوپ نوری مدل ZEISS در آزمایشگاه کانی‌شناسی مرکز تحقیقات فرآوری مواد معدنی ایران انجام شد. واسنجی دستگاه در طی عمل گرمایش تا دمای ۴۱۴°C برابر با

۰/۶ ± °C با ماده استاندارد نترات سزیم و طی سرمایش تا دمای ۹۴/۳- درجه سانتی‌گراد برابر با ۰/۲ ± °C با مایع استاندارد هگزان بوده است.

نتایج و بحث**دگرسانی**

سیال‌های گرمایی عامل رخداد دگرسانی‌های متنوعی در سنگ‌های میزبان (واحد‌های توف، جوش آتشفشانی، آندزیت، داسیت و گرانودیوریت) رگه- رگچه‌های ذخیره بلبلی ۲ هستند. بر اساس بررسی‌های صحرایی، میکروسکوپی و روابط بین رگه- رگچه‌های کانه‌دار، سه مرحله زمانی نفوذ سیال گرمایی در گسترش پهنه‌های دگرسانی در منطقه این ذخیره تشخیص داده شد. از جمله دگرسانی‌های قابل تشخیص در این ذخیره می‌توان به دگرسانی‌های پروپیلیتی، سیلیسی و فلیک اشاره کرد. بر اساس بررسی‌های صحرایی و میکروسکوپی، دگرسانی- های پروپیلیتی، سیلیسی و فلیک مربوط به نفوذ سیال‌های گرمایی در مراحل اول و دوم بوده و با رگه- رگچه‌های کوارتزی- اکسیدی- سولفیدی (مگنتیت + کالکوپیریت) و کوارتزی- سولفیدی- اکسیدی (کالکوپیریت + پیریت + مگنتیت) در ارتباط هستند. دگرسانی کربناتی در ارتباط با مرحله سوم نفوذ سیال‌های گرمایی با خاستگاه بیشتر جوی و رگه- رگچه‌های کربناتی دیده می‌شود.

جدول ۱ نتایج تجزیه پراش پرتو X (XRD) نمونه‌های پهنه دگرسانی ذخیره بلبلی ۲. علائم اختصاری شامل P: پروپیلیتیک، Ph: فلیک، و Ca: کربناتی شدن.

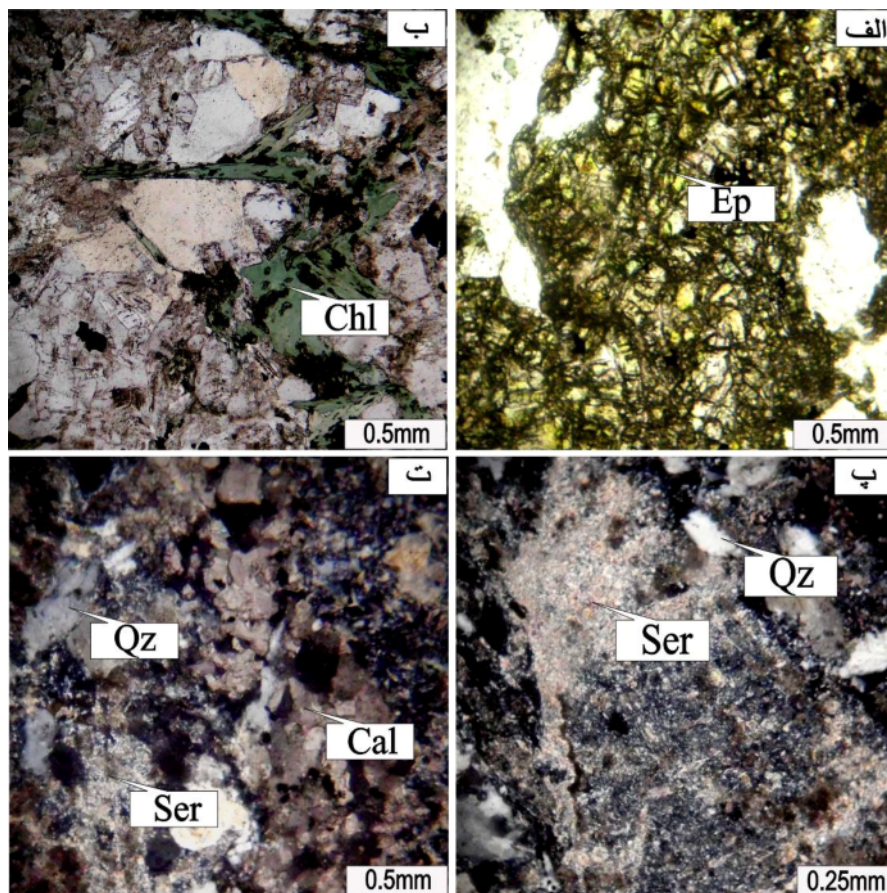
کانی	B2-6 (P)	B2-7 (P)	B2-11 (P)	B2-12 (P)	B2-13 (Ph)	MB2-3 (Ph)	MB2-4 (P)	MB2-6 (Ph)	MB2-15 (Ca)
کوارتز	*	*	*	*	*	*	*	*	*
کلسیت	*	*			*	*	*	*	*
مسکوویت					*	*		*	
اپیدوت			*						
تیتانیت			*						
کلریت	*	*		*		*	*	*	
آلبیت	کم	کم		کم		کم	کم	*	
کانولینیت							*		*
پیریت					*			*	*
سیدریت									*
دولومیت									*
آنکریت									*
دیوپسید		*							
آندزین	*						*		
هورنبلند	*								
انستاتیت					*				

شدن در ارتباط با رگه- رگچه‌های کربناتی در بردارنده سولفید مربوط به مرحله سوم تزریق سیال‌های گرمایی بوده که از این نظر آشکارا از دگرسانی پروپلیتی قابل تفکیک است. رخدادهای رگه-رگچه‌های کربناتی و دگرسانی همراه نشانگر ورود هر چه بیشتر سیال‌های جوی به سیستم گرمایی است.

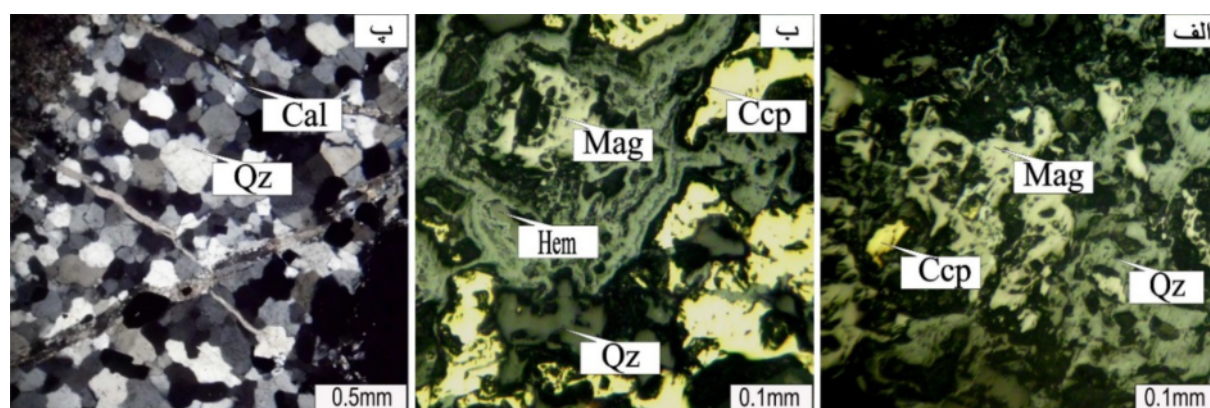
کانه‌سازی

کانه‌سازی در منطقه ذخیره بلبل ۲ اغلب به صورت درونزاد و به طور محدود به صورت برونزاد رخ داده است. نفوذ سیال‌های گرمایی مرحله اول با شکل‌گیری رگه- رگچه‌های کوارتزی-اکسیدی - سولفیدی با بافت دانه ای همراه بوده است. در این رگه- رگچه‌ها، کالکوپیریت به طور محدود دیده می‌شود. کانی‌اکسیدی این مرحله مگنتیت است (شکل ۴ الف). تشکیل رگه- رگچه‌های کوارتزی- سولفیدی-اکسیدی با بافت رگه- رگچه‌ای داربستی، انتشاری، دانه ای، موزائیکی و قشرگون (شکل ۵) در ارتباط با تزریق سیال‌های گرمایی مرحله دوم است.

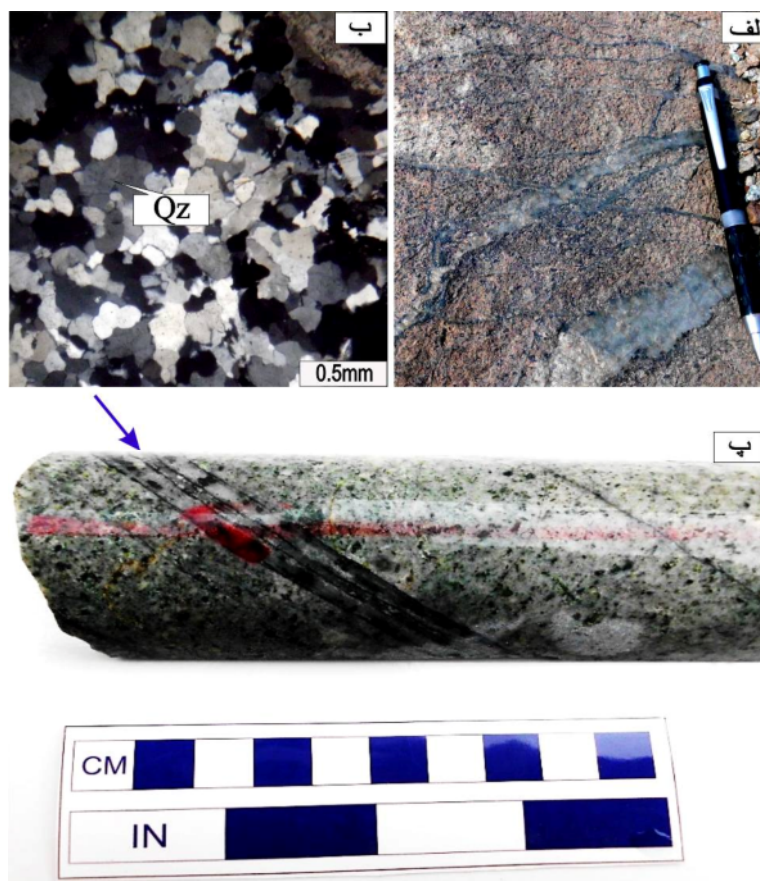
بر اساس بررسی‌های انجام شده در لبه رگه‌های یاد شده، دگرسانی سیلیسی در بخش‌های عمیق‌تر با دور شدن از رگه- رگچه‌ها به ترتیب به دگرسانی فیلیک و سریسیتی و در بخش‌های کم عمق و سطحی به دگرسانی پروپلیتی (با گسترشی حدود چند صد متر) تغییر می‌کند. بر اساس مشاهدات صحرایی و بررسی‌های انجام شده بر مغزه‌های حفاری، بیشترین گسترش دگرسانی پروپلیتی در بخش‌های سطحی و کم عمق توده گرانودیوریتی و واحدهای خروجی در برگیرنده ذخیره است. این دگرسانی ناشی از جانشینی اپیدوت و کلسیت به جای پلاژیوکلاز، و اپیدوت، کلسیت و کلریت به جای کانی‌های تیره (چون هورنبلند) در سنگ‌های میزبان است (شکل‌های ۳ الف و ب). مهمترین مشخصه دگرسانی سریسیتی جانشینی مسکوویت ریز بلور و کوارتز به جای فلدسپار در سنگ‌های میزبان است (شکل ۳ پ). دگرسانی کربناتی با حضور کانی‌های کلسیت و دولومیت قابل تشخیص است (شکل ۳ ت). کربناتی



شکل ۳ تصاویر میکروسکوپی نشانگر الف و ب) دگرسانی پروپلیتی با حضور اپیدوت (Ep) و کلریت (Chl) در قطبیده صفحه‌ای، نور ppl، پ) دگرسانی فیلیک با حضور کوارتز (Qz) و سریسیت (Ser) در نور قطبیده متقاطع، xpl و ت) کربناتی شدن با حضور کلسیت (Cal) و تشکیل دگرسانی کربناتی در نور xpl. علائم اختصاری برگرفته از مرجع [۱۶] هستند.



شکل ۴ تصاویر میکروسکوپی نشانگر الف) همراهی مقادیر اندک کالکوپیریت با مگنتیت در رگچه‌های کوارتزی-اکسیدی-سولفیدی (نور ppl)، ب) حضور مقداری مگنتیت با کالکوپیریت در رگه-رگچه‌های کوارتزی-سولفیدی-اکسیدی و پ: قطع شدن رگه-رگچه‌های کوارتزی توسط رگه-رگچه‌های کربناتی در مراحل پایانی تزریق سیال‌های گرمابی در ذخیره بلبلی ۲. علائم اختصاری به کار رفته عبارتند از Qz: کوارتز، Hem: هماتیت، Cal: کلسیت، Ccp: کالکوپیریت و Mag: مگنتیت.



شکل ۵ انواع بافت‌های رگه-رگچه‌های کوارتزی در ذخیره بلبلی ۲: الف) بافت داربستی، ب) بافت دانه ای و پ: بافت قشرگون (Qz = کوارتز).

های کربناتی که فرآورده مرحله سوم نفوذ سیال‌ها هستند، سایر رگه-رگچه‌های کانه‌دار را قطع کرده‌اند (شکل ۴ پ). این رگه-رگچه‌ها با دگرسانی کربناتی ناشی از سیال‌های گرمابی مرحله سوم همراهی می‌شوند. کالکوپیریت تنها کانی سولفیدی

بافت‌های مشابهی از چنین رگه-رگچه‌ها در کانسار مس پورفیری تخت‌گنبد (در ۳/۴ کیلومتر شمال شرق ذخیره مورد بررسی) گزارش شده است [۸]. کانه‌زایی این مرحله شامل کالکوپیریت، پیریت و مگنتیت است (شکل ۴ ب). رگه-رگچه-

کوارتز همراه رگه- رگچه‌های کوارتزی- سولفیدی- اکسیدی (بیشتر مربوط به مرحله دوم کانی‌سازی) برای بررسی میانبارهای سیال مناسب هستند. رگچه‌های تشکیل شده در مرحله اول کانی‌سازی به علت ضخامت کم برای بررسی میانبارهای سیال مناسب نیستند. با توجه به بررسی‌های سنگ-نگاری انجام شده، ۳ نمونه دوبر صیقل شرایط مناسب برای ریزدماسنجی را دارا هستند؛ از این رو تعداد ۶۸ میانبار سیال از آنها ریزدماسنجی شدند. بررسی‌های سنگ‌نگاری به منظور تعیین انواع میانبارها (اولیه و ثانویه)، رده‌بندی زایشی، تهیه تصاویر مناسب و بررسی ریزدماسنجی انجام شد.

سنگ‌نگاری میانبارهای سیال: بررسی‌های انجام شده نشان می‌دهند که میانبارهای موجود در بلورهای کوارتز همزاد با رگه- رگچه‌های کانه‌دار از نوع اولیه و ثانویه هستند. اندازه میانبارهای اولیه از ۸ تا ۱۵ میکرون متغیر بوده و پدیده باریک-شدگی در برخی از آنها قابل تشخیص است (شکل ۷ الف). اندازه بزرگ، توزیع ناهمگن، نسبت‌های فازی مشابه [۱۷، ۱۸] و نبود آرایه خطی وجه تشخیص میانبارهای اولیه از ثانویه بودند. میانبارهای ثانویه با توجه به آرایه‌های خطی و قرارگیری در راستای شکستگی‌ها و اندازه کوچک [۱۷] تشخیص داده شدند (شکل ۷ ب). بر اساس مقدار هر فاز، میانبارهای سیال اولیه در ذخیره بلبلی ۲ به چهار نوع قابل تفکیک هستند:

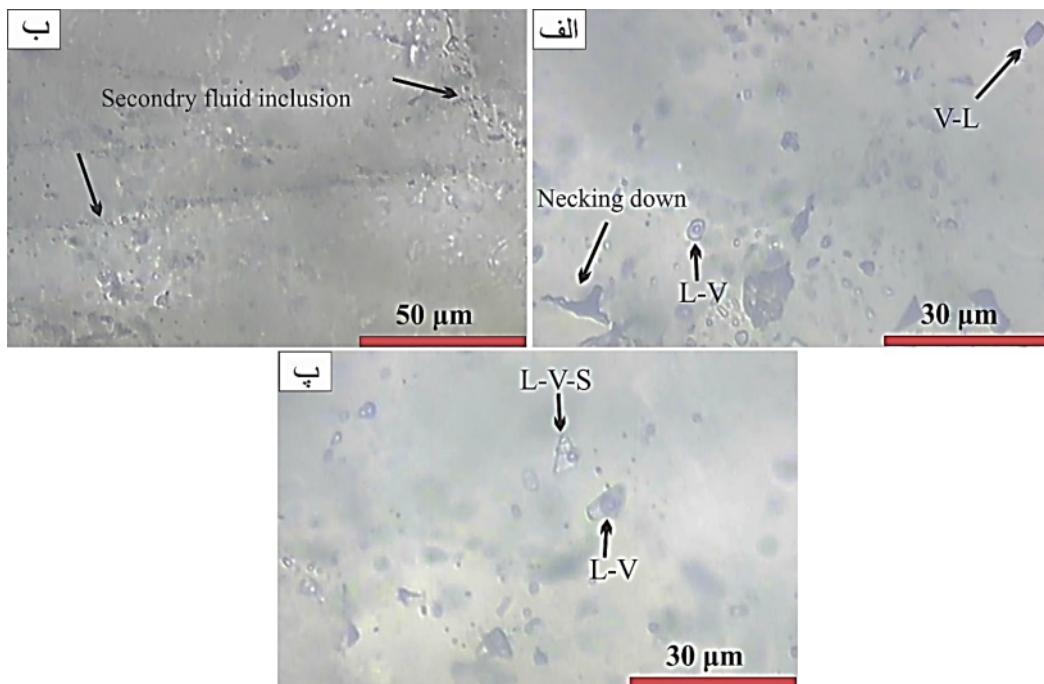
کمیاب این مرحله از کانی‌سازی است. تشکیل سیدریت از ویژگی‌های این مرحله از کانی‌سازی محسوب می‌شود که بیانگر گذر سیال به سمت شرایط قلیایی است. بر اساس بررسی‌های صحرایی و آزمایشگاهی، کانی‌سازی مس در ارتباط با مراحل اول و دوم کانی‌سازی در ذخیره بلبلی ۲ رخ داده است. بررسی‌ها نشان می‌دهند که ضخامت رگه- رگچه‌های کوارتزی و کربناتی از یک میلی‌متر (شکل ۴ پ) تا چند سانتی‌متر (شکل ۵ پ) متغیر هستند. در بخش‌های سطحی در شرایط برونزاد، کانی-های سولفیدی گرمابی توسط کانی‌های ثانویه برونزاد جایگزین شده‌اند. از جمله کانی‌های ثانویه می‌توان به هماتیت و گوتیت با بافت جانیشینی لبه‌ای اشاره کرد (شکل ۴ ب). سولفیدهای اولیه اغلب به صورت جزایری توسط اکسیدها و هیدرواکسیدهای ثانویه آهن احاطه شده‌اند (شکل ۴ ب). کانی-های سولفیدی برونزاد چون بورنیت به صورت محدود دیده می‌شوند. در منطقه ذخیره مورد بررسی، پهنه برونزاد گسترش چندانی ندارد. در بخش جنوب‌شرقی ذخیره، در نزدیکی یک شکستگی با روند شمال‌شرق- جنوب‌غرب، یک پهنه اکسیدی- کربناتی دیده می‌شود که به احتمال بسیار برآمده از رخداد دگرسانی گرمابی کربناتی (کلسیت، دولومیت، سیدریت و آنکرایت) و آثار بعدی فرآیندهای برونزاد ثانویه است. شکل ۶ همبرزایی کانیایی ذخیره بلبلی ۲ را نشان می‌دهد.

بررسی میانبارهای سیال

بررسی‌های میکروسکوپی بر ۱۰ نمونه نشان می‌دهند که باطله

کانی	سنگ میزبان	کانی‌سازی درونزاد			کانی‌سازی برونزاد
		مرحله اول	مرحله دوم	مرحله سوم	
پلازیوکلاز					
هورنبلند					
بیوتیت					
کوارتز					
سریسیت					
اپیدوت					
کلریت					
مگنتیت					
کالکوپیریت					
پیریت					
کلسیت					
دولومیت					
سیدریت					
آنکرایت					
بورنیت					
مالاکیت-آزوریت					
هماتیت					
گوتیت					

شکل ۶ توالی همبری کانیایی (کانسنگ و باطله) برای ذخیره بلبلی ۲.



شکل ۷ انواع میانبارهای سیال در رگه- رگچه‌های ذخیره بلبلی ۲. الف: میانبارهای L-V و V-L، ب) میانبارهای ثانویه ریز با روندهای خطی و پ) میانبارهای نوع L-V-S همزاد با نوع L-V و V-L.

درصد معادل نمک طعام هستند (شکل ۸ ب). با توجه به جدول ۲، گستره دمایی انحلال‌هالیت (Ts) برای میانبارهای نوع L-V-S در گستره ۲۱۳ تا ۴۲۵ درجه سانتی‌گراد بوده که معادل شوری‌هایی در گستره ۵۰-۳۲/۱۱ درصد معادل نمک طعام هستند (شکل ۸ ب). ذوب‌هالیت در اغلب میانبارهای L-V-S پس از همگن شدن فاز مایع و گاز روی داده که بیانگر فوق‌اشباع بودن سیال کانی‌ساز در زمان به دام افتادن است. با توجه به گستره دمایی، Te، (۳۰- تا ۴۰- درجه سانتی‌گراد) می‌توان چنین گفت که سیال‌های کانه‌ساز افزون بر فاز NaCl، دربردارنده مقادیر بسیار کمی از نمک‌های محلول دیگر چون FeCl₂ و MgCl₂ نیز بوده‌اند.

در مرحله گرمایش، تقریباً همه میانبارهای دوفازی غنی از مایع (L-V) به فاز مایع همگن شده و دماهای همگن‌شدگی (Th) آنها در گستره ۴۲۷-۲۰۸ درجه سانتی‌گراد قرار دارد [۱۹] (شکل ۸ الف). از میانبارهای نوع سه‌فازی‌دار (L-V-S)، چهار مورد از آنها با ناپدید شدن فاز جامد (هالیت) همگن شدند ($Th_{(L-V)} < Ts_{(NaCl)}$) و تنها یکی از آنها با ناپدید شدن فاز بخار همگن گردید ($Th_{(L-V)} > Ts_{(NaCl)}$). بر اساس مقادیر $Ts_{(NaCl)}$ به دست آمده، شوری‌های تعیین شده (براساس مرجع [۱۹]) برای این نوع میانبارها در گستره ۵۰-۳۲ درصد قرار دارد (شکل ۸ الف).

۱- میانبار سیال دو فاز غنی از مایع (نوع L-V) (شکل‌های ۷ الف و پ): این میانبارها اغلب درجه پرشدگی ۷۰ تا ۸۰ درصد و گاهی بیش از ۸۰ درصد را نشان می‌دهند.

۲- میانبار سیال دو فاز غنی از گاز (نوع V-L) (شکل ۷ الف): در این میانبارها، حباب گاز بیش از ۸۰ الی ۹۰ درصد فضای موجود را اشغال کرده است. به علت اشغال شدن حجم قابل توجهی از این میانبارها توسط فاز گازی، دمای همگنی در این نوع میانبارها تعیین نشد.

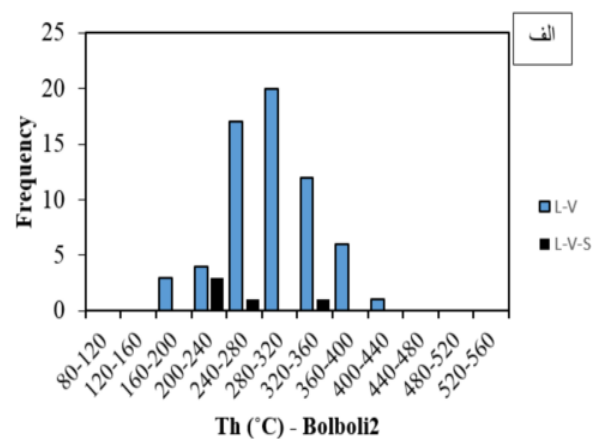
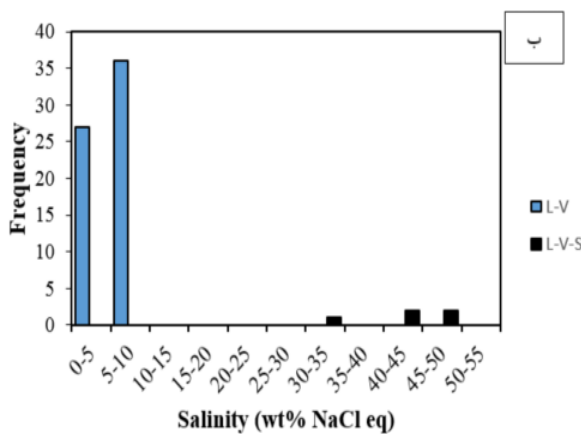
۳- میانبارهای سیال سه‌فازی‌دار (نوع L-V-S) (شکل ۷ پ): این نوع میانبارها به واسطه حضور سه فاز مایع، گاز و جامد مشخص می‌شوند. درجه پرشدگی مربوط به این میانبارها اغلب ۷۰ الی ۸۰ درصد است. فاز نوزاد جامد همراه با این نوع میانبارها هالیت است.

۴- میانبارهای سیال تک‌فاز گازی (V): این میانبارها سیاه رنگ هستند و به همراه میانبارهای نوع V-L و L-V-S در بلور میزبان حضور دارند. حباب گاز بیش از ۹۰ فضای موجود را اشغال کرده است.

بررسی‌های ریزدماسنجی: بررسی‌های ریزدماسنجی در دو مرحله سرمایش و گرمایش انجام شد. در مرحله سرمایش، نتایج بدست آمده نشان می‌دهند که آخرین دمای ذوب یخ (Tm_{ice}) برای میانبارهای L-V در گستره ۰/۵- تا ۶- درجه سانتی‌گراد بوده که معادل با شوری‌های در گستره ۹/۴- تا ۰/۶-

جدول ۲ نتایج ریزدماسنجی میانبارهای سیال در رگه- رگچه‌های کوارتزی ذخیره بلبل۲.

نمونه	کانی	نوع میانبار	Th Range (°C)	Tm (NaCl) range (°C)	Te (°C)	Tm _{ice} (°C)	Salinity (wt% NaCl Eq)
MB2-15	کوارتز	L-V (n = ۲۳)	۲۰۸-۳۴۵	-	-۳۰ تا -۴۰	-۰٫۵ تا -۶	۰٫۹۹ تا ۹٫۴
		L-V-S (n = ۴)	۳۱۵-۴۰۰	۲۱۳-۴۲۵		-	۵۰ تا ۳۲٫۱۱
MB2-14	کوارتز	L-V (n = ۲۳)	(n = ۲۳) ۲۱۵-۴۲۷	-	-۳۰ تا -۴۰	-۰٫۸ تا -۵٫۵	۸٫۷ تا ۱٫۱۹
		L-V-S (n = ۱)	۲۳۰	۴۱۰		-	۴۸
MB2-7	کوارتز	L-V (n = ۱۷)	۱۹۰-۴۰۰	-	-۳۰ تا -۴۰	-۱ تا -۳	۰٫۶ تا ۶٫۰۲



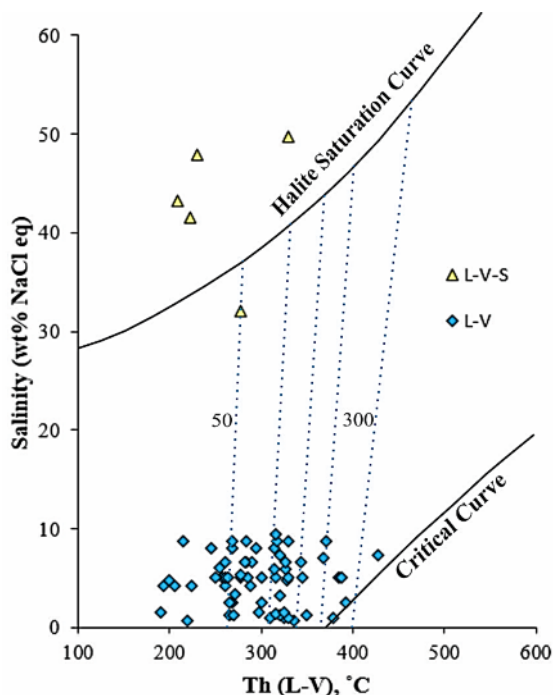
شکل ۸ نمودار ستونی توزیع فراوانی الف) دمای همگنی، و ب) شوری در رگه- رگچه‌های کوارتزی- سولفیدی- اکسیدی ذخیره بلبل۲.

شدن، از نمودار شوری نسبت به دمای همگنی (شکل ۹) استفاده شد. برپایه این نمودار و شکل ۱۰، نقاط مربوط به یافته‌های میانبارهای سیال مورد بررسی روندی مشابه پدیده جوشش، سرد شدن ساده و آمیختگی با سیال‌های دارای دما و شوری پائین‌تر دارند. این روندهای تکاملی در سیال‌های کانه- ساز می‌توانند تا حدی مشابه شاخص‌های میانبارهای سیال ذخیره مس پورفیری باشند [۱۷، ۲۰]. یافته‌های مربوط به میانبارهای مورد بررسی تا حدی مشابه با یافته‌های ریزدماسنجی گزارش شده برای رگچه‌های کوارتزی کانه‌دار ذخیره مس پورفیری علی‌جواد (استان آذربایجان شرقی) در کمر بند مس پورفیری ارسباران [۲۱]، رگچه‌های کوارتزی کانسار سونگون اهر (استان آذربایجان شرقی) [۲۲]، رگه- رگچه‌های کوارتزی- سولفیدی در بردارنده Cu-Mo-Au در ناحیه قره‌چیلر (استان آذربایجان شرقی) [۱۸] و کانسار مس پورفیری تخت‌گنبد سیرجان (استان کرمان) [۸] هستند. تفاوت عمده ذخیره بلبل۲ با ذخیره یاد شده در این است که دگرسانی‌های همراه رگه- رگچه‌های مورد بررسی بیشتر از نوع سریسیتی و پروپیلیتی هستند. چنین ویژگی‌های مشابهی از

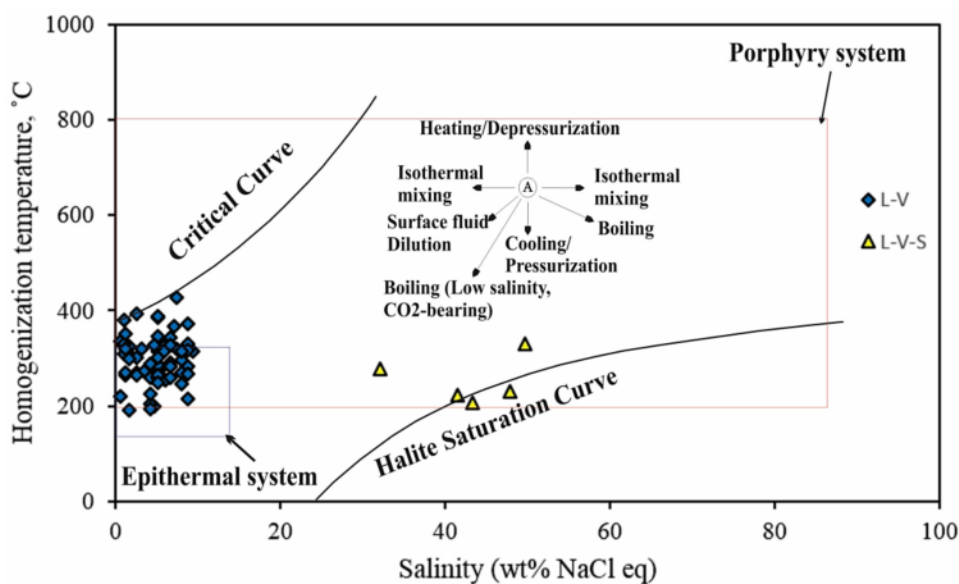
بر اساس یافته‌های ریزدماسنجی، دو نوع از میانبارهای مورد بررسی (یعنی انواع L-V و L-V-S) نماینده دو جمعیت متفاوت را از نظر دمای همگن شدگی و شوری هستند. در واقع، می‌توان چنین گفت که میانبارهای سه فاز (L-V-S) که شوری و دمای بالایی را نشان می‌دهند، در مرحله‌ای از روند تکاملی سیال‌های کانه‌دار به تله افتادند که این سیال‌ها دچار جوشش شده بودند. حضور میانبارهای دو فاز V-L و تک فاز (V) کنار آنها خود می‌تواند این امر را تأیید کند. در این مرحله، شوری سیال‌های کانه‌ساز که به احتمال بسیار دارای خاستگاه ماگمایی با شوری اولیه حدود ۵٪ هستند در اثر جوشش به بیش از ۴۰٪ افزایش یافته است [۲۰]. از طرف دیگر، افزون بر میانبارهای دو فاز با دمای همگنی بالا، وجود میانبارهای دو فاز غنی از مایع (L-V) با شوری و دمای همگن شدگی به نسبت پائین می‌تواند بیانگر مرحله بعدی کانه زایی باشد که طی آن، سیال‌های کانه ساز به احتمال بسیار سرد شدگی معمول و مخلوط شدگی با آب‌های زیرزمینی (با دما و شوری پائین) را تجربه کرده‌اند. برای مشاهده روند تکاملی سیال‌های کانه‌دار و تعیین فشار در زمان محبوس

ناهمگن بلورهای بسیار ریز هالیت به همراه سیال در حال جوشش و اشباع از NaCl باشد [۲۳]. با توجه به شوری میانبراهای سیال مورد بررسی می‌توان گفت که به احتمال بسیار کمپلکس‌های کلریدی عامل مهم و اصلی انتقال فلزها در سیال‌های گرمابی کانی‌ساز بوده‌اند.

رگه-رگچه‌های همراه با دگرسانی‌های سریسیتی-سیلیسی (فیلی) و پروپیلیتی برای ذخایر مس پورفیری گزارش شده است [۲۳]. بر اساس نمودار دو متغیره شوری نسبت به دمای همگنی [۲۴، ۲۵]، تعدادی از میانبراهای سه فازی شامل فاز جامد هالیت در بالای منحنی اشباع از نمک واقع شده‌اند (شکل‌های ۹ و ۱۰) که ممکن است در اثر به دام افتادن



شکل ۹ الگوی توزیع مقدار شوری نسبت به دمای همگنی اندازه‌گیری شده برای میانبراهای سیال مورد بررسی در ذخیره بلبللی ۲ در مقایسه با منحنی اشباع از نمک و منحنی بحرانی (برگرفته از [۲۳]). خطوط نقطه چین مبین فشار بخار سیال‌ها حاوی NaCl در دماها و شوری‌های مختلف می‌باشد [۲۴].



شکل ۱۰ توزیع میانبراهای سیال ذخیره بلبللی ۲ در نمودار دو متغیره دمای همگنی در برابر شوری [۲۰، ۲۶].

برآورد عمق، فشار و چگالی میانبارهای سیال

وقتی در یک سیال گرمایی کانی‌ساز رخداد جوشش یکی از عوامل مؤثر در ته نشست فلزات باشد، می‌توان دمای همگنی را معادل دمای به دام افتادن در نظر گرفت و دیگر نیاز به تصحیح فشاری نیست [۱۷، ۲۶]. بر اساس نمودار دو متغیره دمای همگن شدن نسبت به شوری (شکل ۹)، می‌توان گفت که سیال‌های کانه‌ساز در ذخیره بلبلی ۲ در گستره دمایی حدود ۳۳۰-۳۸۰ درجه سانتی‌گراد دچار جوشش نشده‌اند و به طور تقریبی فشارهای همه جانبه کمتر از ۲۵۰ بار را تجربه می‌کرده‌اند که معادل اعماقی حدود یک کیلومتر است. در واقع، سیال‌های کانه‌ساز در دماهای حدود ۳۲۰ درجه سانتی‌گراد پدیده جوشش را تجربه کرده‌اند که نتیجه آن به تله افتادن سیال‌هایی با شوری بالا بوده است. در این حالت، این سیال‌ها فشار هیدرواستاتیکی حدود ۱۰۰ بار را (شکل ۹ را ببینید) تجربه می‌کرده‌اند که آن هم می‌تواند معادل عمقی حدود یک کیلومتر پائین‌تر از سطح ایستایی سفره آب‌های زیرزمینی طی کانی‌سازی باشد. این عمق کانه‌زایی در ذخیره بلبلی ۲ می‌تواند مشابه بسیاری از ذخایر مس پورفیری در جهان باشد [۲۵]. همچنین، بر اساس نمودار دو متغیره شوری نسبت به دمای همگن شدن (شکل ۱۱) [۲۰]، چگالی سیال‌های مس‌سول کانی‌سازی در ذخیره بلبلی ۲ در گستره ۰.۵ تا ۱.۲ تغییر می‌کند. چگالی‌های حدود ۱.۲ مربوط به میانبارهای سیال سه فازی دربردارنده بلورهای نوزاد هالیت هستند.

برداشت

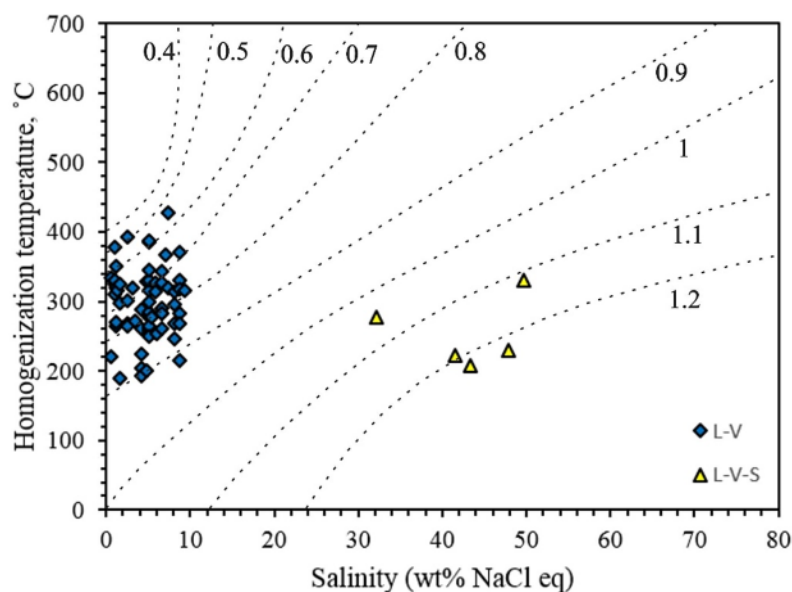
۱- کانی‌سازی درونزاد (کالکوپیریت، پیریت و مگنتیت) و برونزاد (هماتیت، گوتیت، بورنیت، مالاکیت و آزوریت) در ذخیره بلبلی ۲ (جنوب غرب شهر کرمان) درون گرانودیوریت‌های الیگوسن-میوسن و واحدهای توفی، جوش آتشفشانی، آندزیتی و داسیتی وابسته به ائوسن رخ داده است.

۲- شواهد صحرایی و مشاهدات میکروسکوپی بیانگر گسترش کانی‌سازی مس در یک سامانه رگه-رگچه‌ای با بافت‌های داربستی، قشرگون، دانه‌ای و موزائیکی است.

۳- شواهدی چون گسترش بافت رگه-رگچه‌ای داربستی، حضور دگرسانی فیلیک، حضور میانبارهای سیال غنی از گاز، غنی از مایع و غنی از مایع شامل فاز جامد به صورت همزاد، و شوری بالای برخی از میانبارهای سیال مورد بررسی نشان می‌دهند که سیال‌های گرمایی در ذخیره بلبلی ۲ ماهیت ماگمایی و جوی دارند.

۴- بررسی میانبارهای سیال بیانگر رخدادهای پدیده جوشش، آمیختگی، و سردشدگی معمول به عنوان مهمترین عوامل اثر گذار طی گسترش رگه-رگچه‌های کانه‌دار در ذخیره بلبلی ۲ است. با توجه به شوری بالای برخی از میانبارهای سیال مورد بررسی، کمپلکس‌های کلریدی مهمترین عامل انتقال فلزها در سیال‌های مس‌سول کانی‌ساز بوده‌اند.

۵- بر اساس این پژوهش، ذخیره بلبلی ۲ از نظر سازوکار تشکیل، گسترش و روند تکامل بیشترین شباهت را به سیستم‌های گرمایی مس پورفیری دارد.



شکل ۱۱ توزیع فراوانی داده‌های میانبارهای سیال رگه-رگچه‌های کانی‌زایی شده ذخیره بلبلی ۲ در نمودار دو متغیره دمای همگنی در برابر شوری همراه با تغییرات چگالی (خطوط نقطه چین) [۲۶].

قدردانی

properties of the Granitoid Complex of the Chahar-Gonbad, Southeast Iran", Open Journal of Geology 7 (2017) 847-858.

[13] Moeinvaziri H., Ahmadi, A., "Petrology and petrography of igneous rocks", Publications of Teacher Training University of Tehran (2011) 1-547 (in Persian).

[14] Ishihara S., "The Granitoid Series and Mineralization", Economic Geology, 75Th Anniversary Volume (1981) 458-484.

[15] Shahabpour J., "Economic Geology", Publications of Shahid Bahonar University of the Kerman (2005) 1-544 (in Persian).

[16] Whitney D. W., Evans B. W., "Abbreviations for names of rock forming minerals", American Mineralogis 95 (2010) 185-187.

[17] Shapherd T. J., Rankin A. H., Alderton D. H. M., "A practical guide to fluid inclusion studies", Blackie, Glasgow (1985) 1-239.

[18] Simmonds V., Moazzen M., "Fluid inclusion studies on Cu-Mo-Au bearing quartz-sulfide veins and veinlets in Qarachilar area, Qaradagh Pluton (NW Iran)", Periodico di Mineralogia 85 (2016) 261-276.

[19] Bodnar R. J., "Revised equation and table for determining the freezing point depression of H₂O-NaCl soulations", Geochimica et Cosmochimica Acta 57 (1993) 683-684.

[20] Wilkinson J. J., "Fluid inclusion in hydrothermal ore deposits", Lithos 55 (2001) 229-272.

[21] Hajalilou B., Aghazadeh M., "Fluid inclusion studies on quartz veinlets at the Ali Javad porphyry copper-gold deposit, Arasbaran, Northwestern Iran", Journal of Geoscience and Environment Protection 4 (2016) 80-91.

[22] Calagari A. A., "Fluid inclusion studies in quartz veinlets in the porphyry copper deposit at Sungun, East-Azarbaidjan, Iran", Journal of Asian Earth Sciences 23 (2004) 179-189.

[23] Bodnar R. J., Lecumberrii Sanchez P., Moncada D., Steele-MacInnis M., "Fluid inclusion in hydrothermal ore deposits", Treatise on Geochemistry, Second Edition 13 (2014) 119-142.

[24] Ahmad S. N., Rose A. W., "Fluid inclusion in porphyry and skarn ore at New Miexico", Economic Geology 75 (1980) 229-250.

[25] Roedder E., "Fluid inclusion", Mineralogy Society of America, Review in mineralogy 12 (1984) 1-644.

[26] Roedder E., Bodnar R. J., "Geologic pressure determinations from fluid inclusions studies", Earth and Planetary Science Letters 8 (1980) 263-301.

نگارندگان مقاله از حمایت‌های مالی معاونت پژوهشی دانشگاه ارومیه برخوردار بوده‌اند که بدین وسیله نهایت تشکر خود را از آنان اعلام می‌دارند. نگارندگان، همچنین از نظرات و پیشنهادات سازنده داوران محترم مجله سپاسگزاری می‌نمایند.

مراجع

[1] Ghorbani M., "The economic Geology in Iran: Mineral Deposits and Natural Resources", Springer Science Business Media, Dordrecht (2013) 1-581.

[2] Shafiei B., "Two distinct occurrences in Palaeogene magmatic of Cenozoic magmatic arc of the Kerman: Geochemical characteristics and rock-forming processes", Journal of Sciences, University of Tehran 36 (2010) 137-156 (in Persian).

[3] Dimitrijevic M. D., "1:100000 geological map of the Chahar Gonbad", Geological Survey of Iran (1973).

[4] Atapour H., Aftabi A., "Geochemistry and metallogeny of calc-alkaline, shoshonitic and adakitic igneous rocks associated with porphyry Cu-Mo and vein type deposits of Dehaj-Sarduieh volcano-plutonic belt, Kerman", Geosciences 18 (2009) 161-172 (in Persian).

[5] Atapour H., "Petrography and geochemistry of shoshonites of Ghode-e-Biabani area of the Bardsir", MSc Thesis, University of Shahid Bahonar, Kerman, Iran (1993) 1-294 (in Persian).

[6] Aftabi A., Atapour H., "Regional aspects of shoshonitic volcanism in Iran", Episodes 23 (2000) 119-125.

[7] Nedimovic R., "Eploration for ore deposits in Kerman Region", Geological Survey of Iran, Report No.53 (1973) 274p.

[8] Hosseini, M., Ghaderi, M., Alirezaei S., "Types of vein-veinlet systems and their relationship with mineralization in the Takht-e-Gonbad ore deposit, northeast of Sirjan", 15th Symposium of Iranian Geological Association, Teacher Training University of Tehran (2011).

[9] Chahar-Ghonbad Mining Company, "Geology and Semi-detailed explorations of the Bolboli ore deposit", (2010-2013) 1-200 (in Persian).

[10] Khan-Nazer N. H., "Geological map of the Chahar-Ghonbad (1:100000 scale)", Geological Survey of Iran (1994).

[11] Fazlnia A., "Petrography and petrology of the Chahar-Ghonbad intrusive masses", MSc Thesis, University of Shahid Bahonar, Kerman, Iran (2000) 1-180 (in Persian).

[12] Anssary A. H., Sheikh Zakariaii S. J., Dargahi S., Arvin M., "Petrology and Geochemical